

УДК 681.518

**Л. А. Демидова, Е.И. Коняева**  
**КЛАСТЕРИЗАЦИЯ ОБЪЕКТОВ**  
**С ИСПОЛЬЗОВАНИЕМ FCM-АЛГОРИТМА**  
**НА ОСНОВЕ НЕЧЕТКИХ МНОЖЕСТВ ВТОРОГО ТИПА**  
**И ГЕНЕТИЧЕСКОГО АЛГОРИТМА**

*Рассматривается применение FCM-алгоритма на основе нечетких множеств второго типа для решения задачи кластеризации объектов. Для определения оптимальной комбинации значений фаззификаторов предлагается использовать генетический алгоритм.*

**Ключевые слова:** FCM-алгоритм, интервальные нечеткие множества второго типа, алгоритм Карника-Менделя

**Введение.** Методы кластеризации на основе целевых функций используются для минимизации расстояния между образцом и прототипом кластера (таким как точка, линия, гиперэллипсоид и т.п.) и определения параметров прототипа – центра или радиуса. В дальнейшем под прототипом будем понимать точку (центр кластера). В таких подходах итерационные четкие алгоритмы типа  $c$ -средних используются для определения  $c$  разбиений, представляющих множество объектов. Если множество объектов состоит из компактных кластеров и каждый кластер разумно отделим от других, желательный результат кластеризации может быть получен с помощью алгоритма  $c$ -средних. Однако в практических задачах множества объектов редко являются такими. Достаточно часто множество объектов содержит несколько непрототипных объектов, что может привести к плохим результатам кластеризации из-за сдвига центров кластеров. Для преодоления такого нежелательного свойства четкого алгоритма  $c$ -средних применяется FCM-алгоритм (fuzzy  $c$ -means algorithm – алгоритм нечетких  $c$ -средних), использующий весовые коэффициенты (функции принадлежности) для контроля вклада объектов в определение центров кластеров. FCM-алгоритм даёт адекватные результаты кластеризации в случае, когда множество объектов содержит пересекающиеся кластеры [1, 3]. Результаты кластеризации основаны на нечетких функциях принадлежности, использующих относительные расстояния объектов относительно центров кластеров. Например, объект, расположенный далеко от центра кластера, вносит меньший вклад в процедуру поиска центров кластеров, чем объекты, расположенные близко к центру кластера.

Однако FCM-алгоритм работает хорошо, если множество объектов содержит кластеры подобной объема гиперсферической формы или

подобной плотности. Если кластеры в множестве объектов имеют разную плотность (различный размер кластеров/различное количество объектов, или одинаковый размер кластеров/различное количество объектов, или разный размер кластеров/одинаковое количество объектов), то работа FCM-алгоритма может существенно зависеть от выбора фаззификатора  $m$  [3]. Если объем кластеров в множестве объектов увеличивается или число объектов в каждом кластере уменьшается, то нечеткая степень принадлежности для объектов в кластере будет изменяться. В FCM-алгоритме увеличение (уменьшение) нечеткой степени принадлежности для объектов может привести к нежелательному изменению результатов кластеризации.

При применении одного фаззификатора  $m$  предполагается, что FCM-алгоритм основан на использовании нечетких множеств первого типа (НМТ1) или просто нечетких множеств. Использование интервальных нечетких множеств второго типа (ИНМТ2) позволяет ввести в рассмотрение два фаззификатора  $m_1$  и  $m_2$ , существенно улучшив результаты кластеризации.

### 1. FCM-алгоритм

FCM-алгоритм – итерационный алгоритм, вычисляющий нечеткие функции принадлежности для объектов и параметры центров кластеров в соответствии с функциями принадлежности. Функции принадлежности играют роль весовых коэффициентов, представляя степень вклада объекта в оценку центров кластеров. Размер вклада зависит от выбора фаззификатора  $m$ . При применении FCM-алгоритма определяются локально-оптимальное нечеткое разбиение, описываемое совокупностью функций принадлежности, и центры нечетких кластеров. Для получения адекватных результатов нечеткой кластеризации необходимо многократное выполнение

FCM-алгоритма при заданном числе кластеров для различных исходных нечетких разбиений для принятия окончательного решения об искомой нечеткой кластеризации [1].

FCM-алгоритм на основе НМТ1 предполагает минимизацию целевой функции:

$$J(U, V) = \sum_{j=1}^c \sum_{i=1}^n (u_j(x_i))^m \cdot d_{ji}^2 \quad (1)$$

при

$$\sum_{j=1}^c u_j(x_i) = 1 \quad (i = \overline{1, n}), \quad (2)$$

$$d_{ji} = \|x_i - v_j\|, \quad (3)$$

где  $U = [u_j(x_i)]$  – нечеткое  $c$ -разбиение множества объектов  $\{x_i\}$  на основе функций принадлежности  $u_j(x_i)$ ;  $V = (v_1, \dots, v_c)$  – центры кластеров;  $d_{ji}$  – расстояние между центром кластера  $v_j$  и объектом  $x_i$ ;  $m$  – фаззификатор ( $m \in R, m > 1$ );  $c$  – количество кластеров;  $n$  – количество объектов;  $i = \overline{1, n}$ ;  $j = \overline{1, c}$ .

FCM-алгоритм предполагает выполнение следующих шагов.

1. Инициализация начального нечеткого разбиения  $U = [u_j(x_i)]$ , удовлетворяющего условию (2).

2. Вычисление центров кластеров:

$$v_j = \frac{\sum_{i=1}^n u_j(x_i)^m \cdot x_i}{\sum_{i=1}^n u_j(x_i)^m}. \quad (4)$$

3. Вычисление новых функций принадлежности:

$$u_j(x_i) = \frac{1}{\sum_{k=1}^c \left( \frac{d_{ji}}{d_{ki}} \right)^{\frac{2}{m-1}}}. \quad (5)$$

4. Шаги 2 и 3 повторяются до тех пор, пока не будет выполнено заданное число итераций  $s$  или не будет достигнута заданная точность  $|J(U, V) - J'(U, V)| \leq \varepsilon$ , где  $J(U, V)$ ,  $J'(U, V)$  – значения целевой функции на двух последовательных итерациях.

## 2. Неопределенность фаззификатора

FCM-алгоритм дает хорошие результаты кластеризации, если кластеры идентичны по структуре и плотности. Максимально нечеткие степени принадлежности (средняя вертикальная линия на рисунках 1 и 2) там, где объекты расположены на одинаковом расстоянии от центров кластеров (относительное расстояние между

объектом и каждым центром кластера равно 0,5). Эти объекты будут оказывать меньшее влияние на процедуру поиска центров кластеров, чем те, которые удалены от этой вертикальной линии. Вертикальная линия определяет границу решения: объекты, расположенные слева (справа) от нее, принадлежат кластеру  $A_1$  ( $A_2$ ).

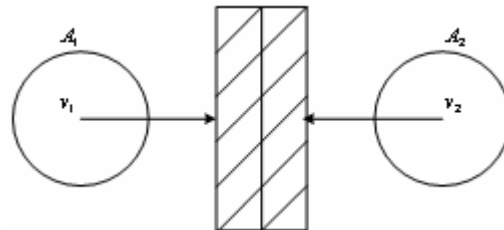


Рисунок 1 - Максимальная нечеткая область для кластеров одинакового объема с малым значением фаззификатора  $m$

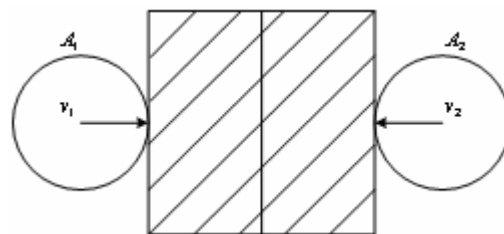


Рисунок 2 - Максимальная нечеткая область для кластеров одинакового объема с большим значением фаззификатора  $m$

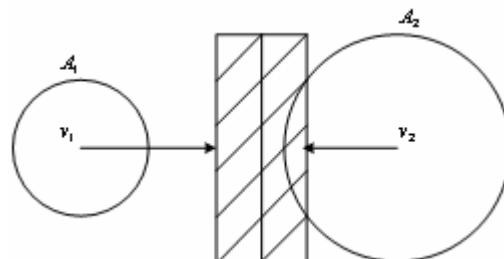


Рисунок 3 - Максимальная нечеткая область для кластеров разного объема с малым значением фаззификатора  $m$

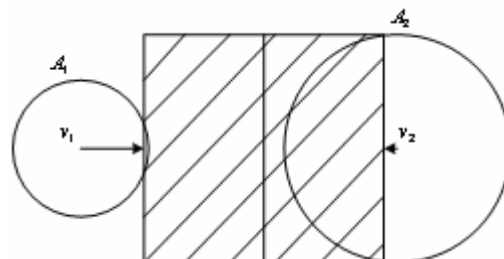


Рисунок 4 - Максимальная нечеткая область для кластеров разного объема с большим значением фаззификатора  $m$

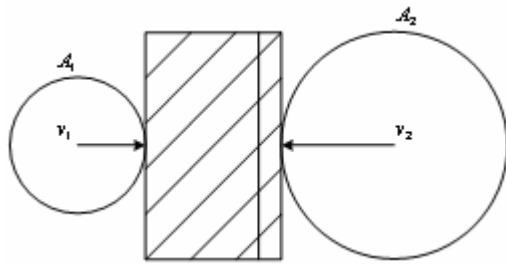


Рисунок 5 - Желательная максимальная нечеткая область для кластеров разного объема

Фаззификатор  $m$  определяет максимальную нечеткую область. Обычно хорошие результаты кластеризации получаются при  $m = 2$ . Для случаев, изображенных на рисунках 3 и 4, FCM-алгоритм может дать плохие результаты кластеризации при выборе несоответствующего фаззификатора  $m$  из-за различия в объеме (плотности) между двумя кластерами. Объекты, лежащие слева от максимальной нечеткой области и принадлежащие кластеру  $A_2$ , будут вносить больший вклад в кластер  $A_1$ , чем в кластер  $A_2$ . Следовательно, необходим контроль при выборе фаззификатора  $m$  для улучшения результатов кластеризации в случае, когда кластеры существенно различны в размере. При выборе большого фаззификатора  $m$  ширина максимальной нечеткой области будет, как на рисунке 4. Это может показаться желательным с точки зрения кластера  $A_1$ , но найденный центр кластера  $v_1$  сдвинется к кластеру  $A_2$  и отклонится от идеального центра кластера  $A_1$ . Это плохо и с точки зрения кластера  $A_2$ , так как нежелательный центр кластера  $A_1$  может оказать влияние на кластер  $A_2$ . Идеальная ситуация – получение максимальной нечеткой области с широкой левой и узкой правой подобластями (рисунок 5). При этом для каждой правой и левой нечеткой подобластей относительное расстояние по отношению к вертикальной линии равно 0,5. Но такая максимальная нечеткая область не может быть получена с помощью FCM-алгоритма на основе НМТ1 ввиду единственности фаззификатора  $m$ . Чтобы управлять неопределенностью, существующей при задании максимальной нечеткой области в FCM-алгоритме, необходимо использовать два фаззификатора  $m_1$  и  $m_2$  для расширения множества объектов на ИНМТ2 [3]. Эта максимальная нечеткая область является неопределенной, так как построена с помощью двух фаззификаторов  $m_1$  и  $m_2$ , представляющих различные степени нечеткости [3]. Поэтому необходимо рассматривать функции принадлежности для объекта как неопределенные (нечеткие) в отличие от определенных (четких) в FCM-алгоритме на основе

НМТ1. Под неопределенностью нечеткой функции принадлежности объекта будем понимать неопределенную максимальную нечеткую область.

### 3. Использование интервальных нечетких множеств второго типа

Первичная функция принадлежности  $J_{x_i}$  объекта  $x_i$  при описании неопределенности с помощью ИНМТ2 может быть определена как интервальная функция принадлежности со всеми вторичными степенями первичных функций принадлежности, равными 1. Тогда ИНМТ2  $\tilde{X}$  может быть представлено как [3]:

$$\tilde{X} = \{ \{ (x, u), \mu_{\tilde{X}}(x, u) \} \mid \forall x \in X, \forall u \in J_x \subseteq [0, 1], \mu_{\tilde{X}}(x, u) = 1 \} \quad (6)$$

При определении интервальных первичных функций принадлежности объекта  $x_i$  рассмотрим нижнюю и верхнюю интервальные функции принадлежности, используя два различных значения фаззификатора  $m$ :

$$\bar{u}_j(x_i) = \begin{cases} u_j^1(x_i), & \text{если } u_j^1(x_i) > u_j^2(x_i) \\ u_j^2(x_i), & \text{если } u_j^1(x_i) \leq u_j^2(x_i) \end{cases}, \quad (7)$$

$$\underline{u}_j(x_i) = \begin{cases} u_j^1(x_i), & \text{если } u_j^1(x_i) \leq u_j^2(x_i) \\ u_j^2(x_i), & \text{если } u_j^1(x_i) > u_j^2(x_i) \end{cases}, \quad (8)$$

где  $u_j^p(x_i) = \frac{1}{\sum_{k=1}^c \left( \frac{d_{ji}}{d_{ki}} \right)^{\frac{m_p}{p-1}}}$ ,  $p = 1, 2$ .

Использование фаззификаторов  $m_1$  и  $m_2$ , представляющих различные степени нечеткости, приводит к различным целевым функциям, которые должны быть минимизированы с помощью FCM-алгоритма при  $m = m_1$  и  $m = m_2$ :

$$J_{m_1}(U, V) = \sum_{j=1}^c \sum_{i=1}^n (u_j(x_i))^{m_1} \cdot d_{ji}^2, \quad (9)$$

$$J_{m_2}(U, V) = \sum_{j=1}^c \sum_{i=1}^n (u_j(x_i))^{m_2} \cdot d_{ji}^2. \quad (10)$$

Пусть имеются 2 кластера в одномерном пространстве с центрами  $v_1$  и  $v_2$ . На рисунке 6 приведены графики функций принадлежности, соответствующие центру  $v_1$ , для объектов, лежащих между центрами кластеров, для различных значений фаззификатора  $m$ . Степени принадлежности являются максимально четкими при  $m \rightarrow 1$ : объекты, размещенные слева (справа) от максимальной нечеткой области, полно-

стью принадлежат (или не принадлежат) кластеру  $A_1$  ( $A_2$ ). Степени принадлежности являются максимально нечеткими при  $m \rightarrow \infty$ : объекты, размещенные в центрах кластеров, полностью принадлежат (или не принадлежат) кластеру  $A_1$  ( $A_2$ ), иначе степень принадлежности равна 0,5.

На рисунке 7 приведен пример ИНМТ2 в случае двух кластеров для комбинаций фаззификаторов  $m_1=2$  и  $m_2=5$ . Различие в функциях принадлежности определяет для ИНМТ2 «отпечаток неопределенности»  $FOU$ , закрашенный на рисунке в черный цвет [3, 5]. Степени принадлежности для объектов, размещенных в каждом текущем центре кластера (для текущей итерации), равны 1 и равны 0 для другого центра. Следовательно, для таких объектов  $FOU$  не существует. Для объектов, расположенных на одинаковом расстоянии от центров обоих (двух) кластеров, степени принадлежности равны 0,5. Для таких объектов  $FOU$  также не существует. Таким образом, не существует неопределенности для объектов с максимальной и минимальной степенями принадлежности.

Управление неопределенностью фаззификатора  $m$ , позволяющее существенно улучшить результаты кластеризации, осуществляется с помощью: вычисления центров (центроидов) кластеров и дефаззификации (получения четкого разбиения) для конечного решения о результатах кластеризации [3].

При вычислении центров кластеров с помощью FCM-алгоритма на основе ИНМТ2 используются операция «type-reduction» («понижение типа») и методы дефаззификации ИНМТ2 [3].

Центроид НМТ1 для  $n$  объектов может быть вычислен по формуле:

$$v_X = \frac{\sum_{i=1}^n x_i \cdot u(x_i)}{\sum_{i=1}^n u(x_i)}. \quad (11)$$

По принципу расширения центроид НМТ2  $\tilde{X}$  вычисляется как [5]:

$$v_{\tilde{X}} = \sum_{u(x_1) \in J_{x_1}} \dots \sum_{u(x_n) \in J_{x_n}} F \frac{\sum_{i=1}^n x_i \cdot u(x_i)}{\sum_{i=1}^n u(x_i)}, \quad (12)$$

где  $F = f(u(x_1)) * \dots * f(u(x_n))$ .

Использование ИНМТ2 обеспечит улучшение результатов кластеризации при уменьшении вычислительной сложности по сравнению с обобщенными нечеткими множествами второго типа [5]. Для ИНМТ2 в формуле (8) можно заменить все  $f(u(x_i))$  ( $i = \overline{1, n}$ ) на 1 и использовать

эту формулу для нечеткой кластеризации, введя дополнительно в формулу нечеткую степень  $m$ :

$$v_{\tilde{X}} = \frac{\sum_{u(x_1) \in J_{x_1}} \dots \sum_{u(x_n) \in J_{x_n}} \frac{\sum_{i=1}^n x_i \cdot u(x_i)^m}{\sum_{i=1}^n u(x_i)^m}}{\sum_{i=1}^n u(x_i)^m}. \quad (13)$$

В результате оцениваемые центры кластеров представляются интервалом  $v_{\tilde{X}} = [v_L, v_R]$  [3].

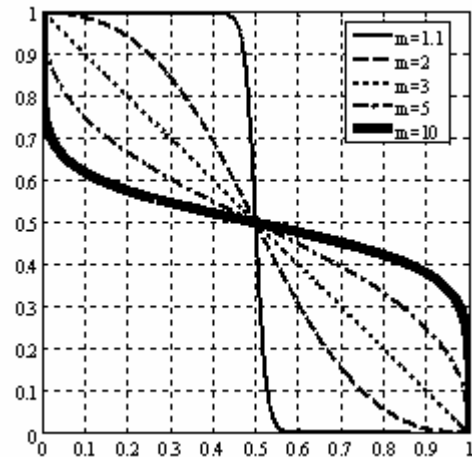


Рисунок 6 – Графики нечетких функций принадлежности для FCM-алгоритма

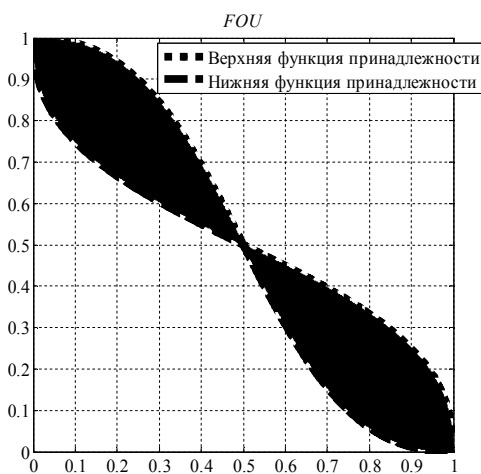


Рисунок 7 – «Отпечаток неопределенности» для комбинации  $m_1 = 2$  и  $m_2 = 5$

Для оценки центров кластеров  $v_L$  и  $v_R$  обычно рассматривают все «вложенные» НМТ1 для ИНМТ2, которые описываются верхними и нижними значениями первичных функций принадлежности  $J_{x_i}$ . В общем случае существует  $2^n$  вложенных НМТ1 в ИНМТ2, описывающее  $n$  объектов. Для уменьшения вычислительной сложности при оценке центров кластеров целесообразно использовать итерационный алгоритм Карника-Менделя [3, 5].

#### 4. Итерационный алгоритм Карника-Менделя

Итерационный алгоритм Карника-Менделя позволяет определить два «вложенных» НМТ1 –  $L$  и  $R$  – внутри  $FOU$  ИНМТ2  $\tilde{X}$ . Множества  $L$  и  $R$  имеют минимально и максимально возможные центроиды  $v_L$  и  $v_R$  в  $\tilde{X}$  соответственно. Четкое значение центроида определяется как среднее значение от центроидов НМТ1:  $L$  и  $R$ .

Пусть для каждого из объектов кластеризации  $x_i$  ( $i = \overline{1, n}$ ) заданы значения всех  $q$  характеристик, измеренные в некоторой количественной шкале:  $x_i = (x_{i1}, \dots, x_{iq})$ .

Алгоритм Карника-Менделя для поиска максимума  $v_R$  центра кластера  $v_j$  имеет вид:

1. Для множества объектов  $x_i = (x_{i1}, \dots, x_{iq})$  ( $i = \overline{1, n}$ ) вычисляются функции принадлежности в соответствии с формулами (7) и (8).

2. Выбирается значение фаззификатора  $m$  (любое из  $m_1$  и  $m_2$ ).

3. Вычисляется центроид  $v'_j = (v'_{j1}, \dots, v'_{jq})$  по формуле (11) и  $u_j(x_i) = (\bar{u}_j(x_i) + \underline{u}_j(x_i))/2$ .

4. Выполняется сортировка индексов  $n$  объектов ( $i = \overline{1, n}$ ) по каждой характеристике  $l$  ( $l = \overline{1, q}$ ) по возрастанию:

$$\begin{matrix} x_{11}, \dots, x_{n1}, \\ \dots \dots \dots \\ x_{1q}, \dots, x_{nq}. \end{matrix}$$

5. По каждой характеристике  $l$  ( $l = \overline{1, q}$ ) выполняется поиск индекса  $k$  ( $1 \leq k \leq n-1$ ) такого, что  $x_{kl} \leq v'_{jl} \leq x_{(k+1)l}$ .

6. Для всех  $n$  объектов вычисляются функция принадлежности: если  $i \leq k$ , то  $u_j(x_i) = \underline{u}_j(x_i)$ ; иначе –  $u_j(x_i) = \bar{u}_j(x_i)$ .

7. Вычисляется центроид для  $v''_{jl}$  по формуле (4).

8. Если  $v'_{jl} = v''_{jl}$ , то  $l$ -я координата центра  $j$ -го кластера считается вычисленной и осуществляется переход к шагу 9. В противном случае полагается, что  $v'_{jl} = v''_{jl}$ , и осуществляется переход к шагу 5 для уточнения  $l$ -й координаты  $j$ -го кластера.

9. Если  $l < q$ , то номер координаты увеличивается на единицу:  $l = l + 1$  и осуществляется переход к шагу 5 для уточнения  $l$ -й координаты  $j$ -го кластера. Если  $l = q$ , считается, что проце-

дура вычисления максимума  $v_R$  центра кластера  $v_j$  завершена и  $v_R = v'_j = (v'_{j1}, \dots, v'_{jq})$ .

Минимум  $v_L$  центра кластера  $v_j$  вычисляется аналогичным образом с заменой действий шага 6 на следующее: если  $i \leq k$ , то  $u_j(x_i) = \bar{u}_j(x_i)$ ; иначе –  $u_j(x_i) = \underline{u}_j(x_i)$ .

Результирующее интервальное НМТ1 может быть записано в виде:  $v_j = 1,0/[v_L, v_R]$ . Четкое значение для центра кластера  $v_j$  находится с помощью операции «понижения типа» [3, 5]:

$$v_j = (v_L + v_R)/2. \quad (14)$$

«Четкое разбиение» в FCM-алгоритме на основе НМТ1 находится в соответствии с правилом:

$$\begin{aligned} &\text{«Если } (u_j(x_i) > u_t(x_i)), \\ &\text{для } t = \overline{1, \dots, c} \text{ и } j \neq t, \end{aligned} \quad (15)$$

то  $x_i$  относится к кластеру  $j$ ».

Перед выполнением «четкого разбиения» в FCM-алгоритме на основе ИНМТ2 необходимо предварительно выполнить «понижение типа» для функций принадлежности объектов  $u_j(x_i)$ , используя левые и правые функции принадлежности ( $u_j^L(x_i)$  и  $u_j^R(x_i)$ ), найденные при вычислении  $v_L$  и  $v_R$  соответственно. «Понижение типа» может быть выполнено как:

$$u_j(x_i) = \frac{u_j^R(x_i) + u_j^L(x_i)}{2}, \quad j = \overline{1, \dots, c}, \quad (16)$$

где  $u_j^R(x_i) = \frac{\sum_{l=1}^q u_{jl}(x_i)}{q}$  при

$$u_{jl}(x_i) = \begin{cases} \bar{u}_j(x_i), & \text{если } x_{il} \text{ использует } \bar{u}_j(x_i) \text{ для } v_j^R; \\ \underline{u}_j(x_i), & \text{иначе} \end{cases}$$

$$u_j^L(x_i) = \frac{\sum_{l=1}^q u_{jl}(x_i)}{q} \text{ при}$$

$$u_{jl}(x_i) = \begin{cases} \bar{u}_j(x_i), & \text{если } x_{il} \text{ использует } \bar{u}_j(x_i) \text{ для } v_j^L; \\ \underline{u}_j(x_i), & \text{иначе} \end{cases}$$

Тогда «четкое разбиение» выполняется в соответствии с правилом (15).

Вычислительная сложность FCM-алгоритма на основе ИНМТ2 не превышает  $O(n^3)$ , а для ряда практических случаев может быть оценена как  $O(n^2)$  [3].

FCM-алгоритм на основе ИНМТ2 является обобщением FCM-алгоритма на основе НМТ1 при  $m_1 = m_2$ .

### 5. Генетический алгоритм поиска оптимальной комбинации значений фаззификаторов

Для поиска оптимальной комбинации значений фаззификаторов  $m_1$  и  $m_2$  следует использовать генетический алгоритм [2], так как перебор всевозможных наиболее часто используемых значений фаззификаторов  $m_1$  и  $m_2$  не всегда не приносит желаемый результат.

Для решения задачи поиска оптимальной комбинации значений фаззификаторов  $m_1$  и  $m_2$  хромосома может быть задана в виде:  $s = (m_1, m_2)$ , где  $m_1, m_2 \in (1, m_{max})$ ;  $m_{max}$  – некоторое действительное число, определяющее максимальное значение фаззификатора;  $m_1 < m_2$ .

В большинстве практических задач  $m_{max}$  удовлетворяет неравенству:  $m_{max} \leq 30$ .

Анализ качества кластеризации на основе различных индексов кластеризации (таких как коэффициент разбиения  $PC$ , энтропия разбиения  $PE$ , индекс Хие-Бени  $XB$ , индекс плотности  $CS$  [4]) на различных тестовых примерах показал, что наилучшие результаты кластеризации обеспечивает индекс плотности  $CS$ , который должен быть максимизирован:

$$CS = \frac{s_1}{s_2}, \quad (17)$$

$$s_1 = \sum_{j=1}^c \left( \frac{1}{|X_j|} \cdot \sum_{x_i \in X_j} \max_{x_r \in X_j} (d(x_i, x_r)) \right), \quad (18)$$

$$s_2 = \sum_{j=1}^c \left( \min_{\substack{t=1, c \\ t \neq j}} (d(v_j, v_t)) \right), \quad (19)$$

$$d(x_i, x_r) = \|x_i - x_r\|, \quad (20)$$

$$d(v_j, v_t) = \|v_j - v_t\|. \quad (21)$$

В связи с этим индекс плотности  $CS$  был выбран в качестве функции соответствия для генетического алгоритма.

Применение в качестве целевых функций индексов, использующих в своей записи значение фаззификатора  $m$ , оказалось невозможно, во-первых, ввиду наличия двух фаззификаторов  $m_1$  и  $m_2$ , а, во-вторых, из-за того, что само значение фаззификатора существенным образом влияет на значение индекса кластеризации (при поиске экстремума).

Выбор родителя заключается в выборе хромосомы, максимизирующей индекс плотности  $CS$  по формуле (17), из двух случайно выбранных. Затем выбранные таким образом хромосо-

мы-родители используются в операции скрещивания.

При выполнении операции скрещивания выбирается вероятность скрещивания  $P_c$  и генерируется случайное число  $N_c$ . Если  $P_c > N_c$ , то случайным образом выбирается точка скрещивания  $z$  и выполняется скрещивание.

При выполнении операции мутации выбирается вероятность мутации  $P_m$  и генерируется случайное число  $N_m$ . Если  $P_m > N_m$ , то случайным образом выбирается точка мутации  $z$  и выполняется мутация.

Тогда генетический алгоритм имеет вид.

1. Случайным образом создается популяция размера  $P$ . При этом выполняется проверка условия:  $m_1 < m_2$ .

2. При  $g < G$  ( $G$  и  $g$  – максимальное и текущее количество генераций генетического алгоритма соответственно) вычисляется функция соответствия (17) для каждой хромосомы и создается  $P/2$  пар хромосом-родителей.

3. Выполняются операции скрещивания и мутации для текущей популяции. При этом выполняется проверка условия:  $m_1 < m_2$ .

4. Создается новая популяция размера  $P$ , дополненная хромосомами-детьми в количестве  $P * P_c$ , затем  $P * P_c$  хромосом с худшими значениями функции соответствия (17) отбрасываются. При  $g < G$  осуществляется переход к шагу 2.

5. Выбирается лучшая хромосома, которая максимизирует функцию соответствия (17). Для каждого объекта определяется его принадлежность к нечетким кластерам.

### 6. Экспериментальные результаты

Ниже приведены два примера и сравнительные результаты кластеризации, полученные на основе НМТ1 и ИНМТ2.

В целом FCM-алгоритм работает хорошо для множеств объектов, содержащих разбиения подобного объема и подобного количества объектов.

Изменяя объем кластеров в множестве объектов, оценим эффективность предлагаемого подхода по сравнению с классическим FCM-алгоритмом на основе НМТ1.

Первый пример (рисунки 8, 9 и 10) иллюстрирует влияние выбора фаззификатора  $m$  на результаты кластеризации множества объектов, содержащего два кластера разного объема с одинаковым количеством объектов (по 9 объектов в кластере). Объекты первого, второго кластеров и центры кластеров помечены круглыми, квадрат-

ными и треугольными маркерами соответственно.

FCM-алгоритм на основе НМТ1 при  $m = 1,1$  дает ошибку кластеризации в 3 объекта, при  $m = 2, \dots, 8$  – в 2 объекта, а при  $m = 9, \dots, 30$  – в 1 объект. Ошибочно относятся к первому (нижнему) кластеру один, два или три объекта второго (верхнего) кластера, расположенные к нему ближе, чем другие объекты второго кластера.

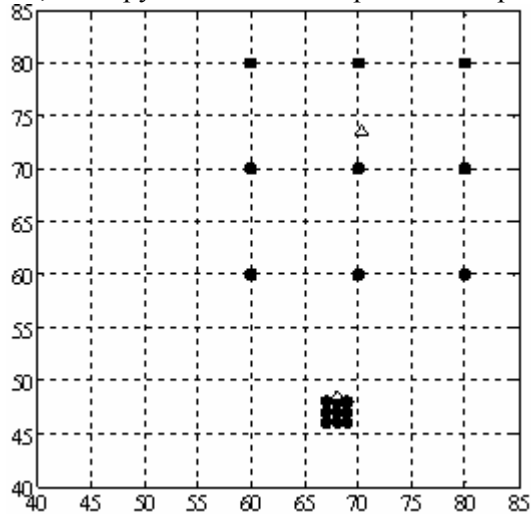


Рисунок 8 – Расположение центров кластеров для множества объектов разного объема при  $m = 2$

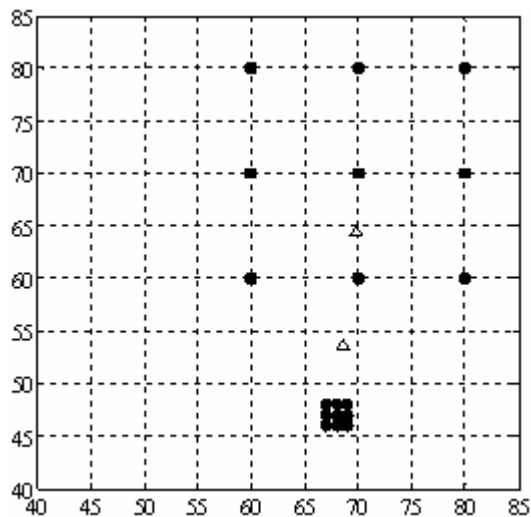


Рисунок 9 – Расположение центров кластеров для множества объектов разного объема при  $m_1 = 5$  и  $m_2 = 22$

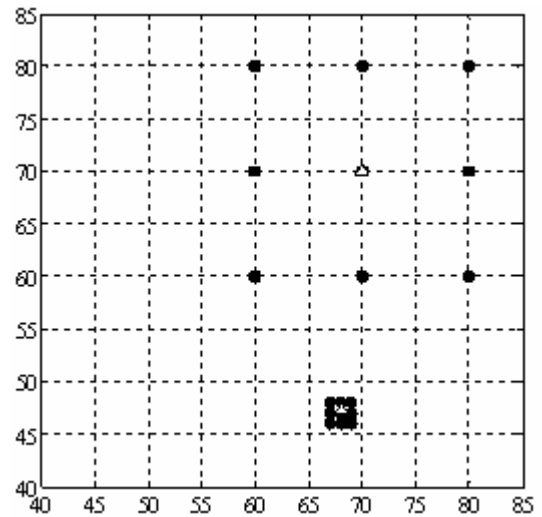


Рисунок 10 – Расположение центров кластеров для множества объектов разного объема при  $m_1 = 24,39791$  и  $m_2 = 25,915252$

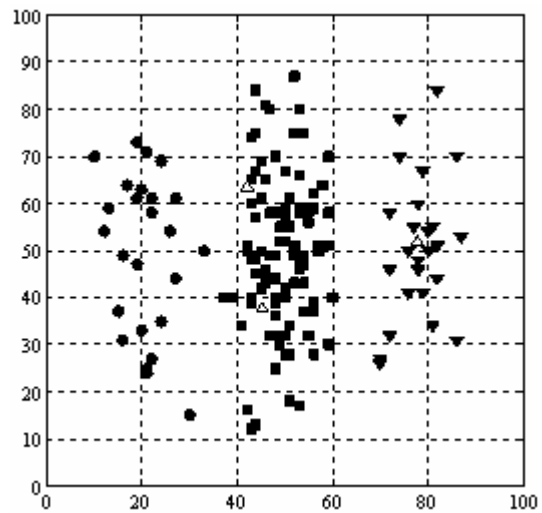


Рисунок 11 – Расположение центров кластеров для множества объектов, содержащего кластеры с различным количеством элементов при  $m = 2$

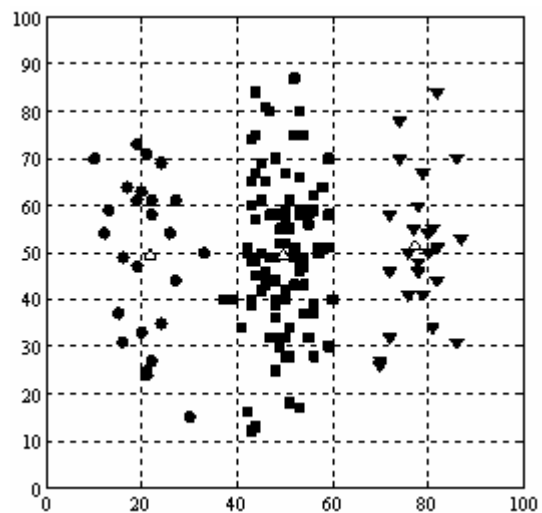


Рисунок 12 – Расположение центров кластеров для множества объектов, содержащего кластеры с различным количеством элементов

при  $m_1 = 1,115285$  и  $m_2 = 1,276459$

Рисунок 8 показывает расположение центров кластеров для наилучшего возможного результата кластеризации с помощью FCM-алгоритма на основе НМТ1 при фаззификаторе  $m = 2$ , который обычно используется для FCM-алгоритма, с ошибкой кластеризации в 2 объекта. FCM-алгоритм на основе ИНМТ2 позволяет уменьшить ошибку кластеризации, а для ряда комбинаций значений фаззификаторов  $m_1$  и  $m_2$  обеспечивает нулевую ошибку кластеризации. Так, для комбинаций значений фаззификаторов  $m_1 = 5$  и  $m_2 = 22$  кластеризация выполняется с нулевой ошибкой. Но расположение вычисленных центров следует признать неудачным (рисунок 9). Применение генетического алгоритма совместно с FCM-алгоритмом на основе ИНМТ2 позволило определить оптимальную комбинацию значений фаззификаторов  $m_1 = 24,39791$  и  $m_2 = 25,915252$ , обеспечивающую не только нулевую ошибку кластеризации, но и ожидаемое расположение центров кластеров (рисунок 10).

Второй пример демонстрирует возможности совместного применения FCM-алгоритма на основе ИНМТ2 и генетического алгоритма для случая множества объектов, содержащего три кластера с разным количеством объектов (рисунки 11 и 12). Объекты первого, второго и третьего кластеров помечены круглыми, квадратными и треугольными «чёрными» маркерами, центры кластеров – треугольными «белыми» маркерами. При этом объекты первого и третьего кластеров содержат по 25 элементов, второй кластер содержит 100 элементов, а характеристики объектов в каждом кластере распределены в соответствии с нормальным законом распределения  $N(c, \sigma^2)$ , где  $c$  – математическое ожидание,  $\sigma$  – среднеквадратическое отклонение.

Формула плотности вероятности случайной величины  $x$ , распределенной по нормальному закону, имеет вид:

$$f(x) = \frac{1}{\sigma \cdot \sqrt{2 \cdot \pi}} \cdot e^{-\frac{(x-c)^2}{2\sigma^2}}. \quad (22)$$

Нормальное распределение с заданными  $c$  и  $\sigma$  может быть получено из нормализованного нормального распределения  $N(0,1)$  как:

$$z = c + \sigma \cdot x, \quad (23)$$

где  $x$  – случайная величина с нормализованным нормальным законом распределения.

Предположим, что данные в первом кластере распределены по первой и второй характери-

стикам по законам  $N(20,36)$  и  $N(50,256)$  соответственно; во втором кластере – по законам  $N(50,36)$  и  $N(50,256)$  соответственно; в третьем кластере – по законам  $N(80,36)$  и  $N(50,256)$  соответственно. Так как по каждой характеристике данные распределены по нормальному закону  $N(c, \sigma^2)$ , то очевидно, что центры вычисленных кластеров должны быть близки к точкам с координатами  $(20,50)$ ,  $(50,50)$ ,  $(80,50)$  для первого, второго и третьего кластеров соответственно.

Результаты кластеризации с помощью FCM-алгоритма на основе НМТ1 при различных значениях фаззификатора  $m$  оказываются далеки от ожидаемых. Это можно объяснить тем, что кластеры содержат разное количество объектов. Рисунок 11 иллюстрирует расположение центров кластеров для фаззификатора  $m = 2$ . Совместное применение генетического алгоритма и FCM-алгоритма на основе ИНМТ2 позволило определить комбинацию значений фаззификаторов  $m_1$  и  $m_2$ , обеспечивающую максимальную близость к предполагаемым центрам кластеров. Также найденная комбинация значений фаззификаторов  $m_1 = 1,115285$  и  $m_2 = 1,276459$  обеспечивает нулевую ошибку кластеризации, то есть все объекты оказываются отнесенными к «своим» кластерам (рисунок 12).

Приведенные выше примеры демонстрируют преимущества совместного применения генетического алгоритма и FCM-алгоритма на основе ИНМТ2 при поиске оптимальной комбинации значений фаззификаторов  $m_1$  и  $m_2$ , обеспечивающей наилучшие результаты кластеризации.

### Выводы

Использование ИНМТ2 и введение комбинации значений фаззификаторов  $m_1$  и  $m_2$  позволяют представлять и управлять неопределенностью, которая возникает при анализе множества объектов, образованного из кластеров различной плотности (различного объема с различным числом объектов). В результате удастся определить более точное положение центров кластеров и, следовательно, улучшить результаты нечеткой кластеризации.

Применение генетического алгоритма позволяет найти оптимальную комбинацию значений фаззификаторов  $m_1$  и  $m_2$ , обеспечивающую лучшие результаты нечеткой кластеризации, что подтверждается максимальным значением индекса плотности  $CS$  для данного множества объектов при заданном числе кластеров  $c$ .

**Библиографический список**

1. Демидова Л.А., Кираковский В.В., Пылькин А.Н. Алгоритмы и системы нечеткого вывода в задачах диагностики городских инженерных коммуникаций. – М.: Радио и связь, Горячая линия – Телеком, 2005. 592 с., ил.

2. Ярушкина Н.Г. Основы теории нечетких и гибридных систем: учеб. пособие. – М.: Финансы и статистика, 2004. 320 с.: ил.

3. Hwang C., Rhee F.C.-H. uncertainfuzzy clustering: interval type-2 fuzzy approach to c-means // IEEE Trans. on Fuzzy Systems. 2007. vol. 15. № 1. – P. 107-120.

4. Galda H. Development of segmentation method for dermoscopic images based on color clustering. Kobe University, Graduate school of science and technology. 2003. – 79 p.

5. Mendel Jerry M. Type-2 fuzzy sets and systems: an overview. // IEEE Computational intelligence magazine. 2007. vol. 2. № 1 – P. 20-29.